

**Programa de Monitoramento da Biodiversidade Aquática da Área
Ambiental I – Porção Capixaba do Rio Doce e Região Marinha e
Costeira Adjacente**

ADIFS2 – Material Suplementar 2

**Ambiente Dulcícola– Tema Integração Fluvio-Estuarina: Fluxos
Hidrológicos**

RT-42 JAN 23

RSE2022 PMBA/FEST

Vitória,

Janeiro de 2023

1 HIDROLOGIA

Figura 1: Acumulado de precipitação na Bacia do Rio Doce para o período chuvoso da Série Histórica até o ano que antecede o rompimento da barragem de Fundão (1984-2014)

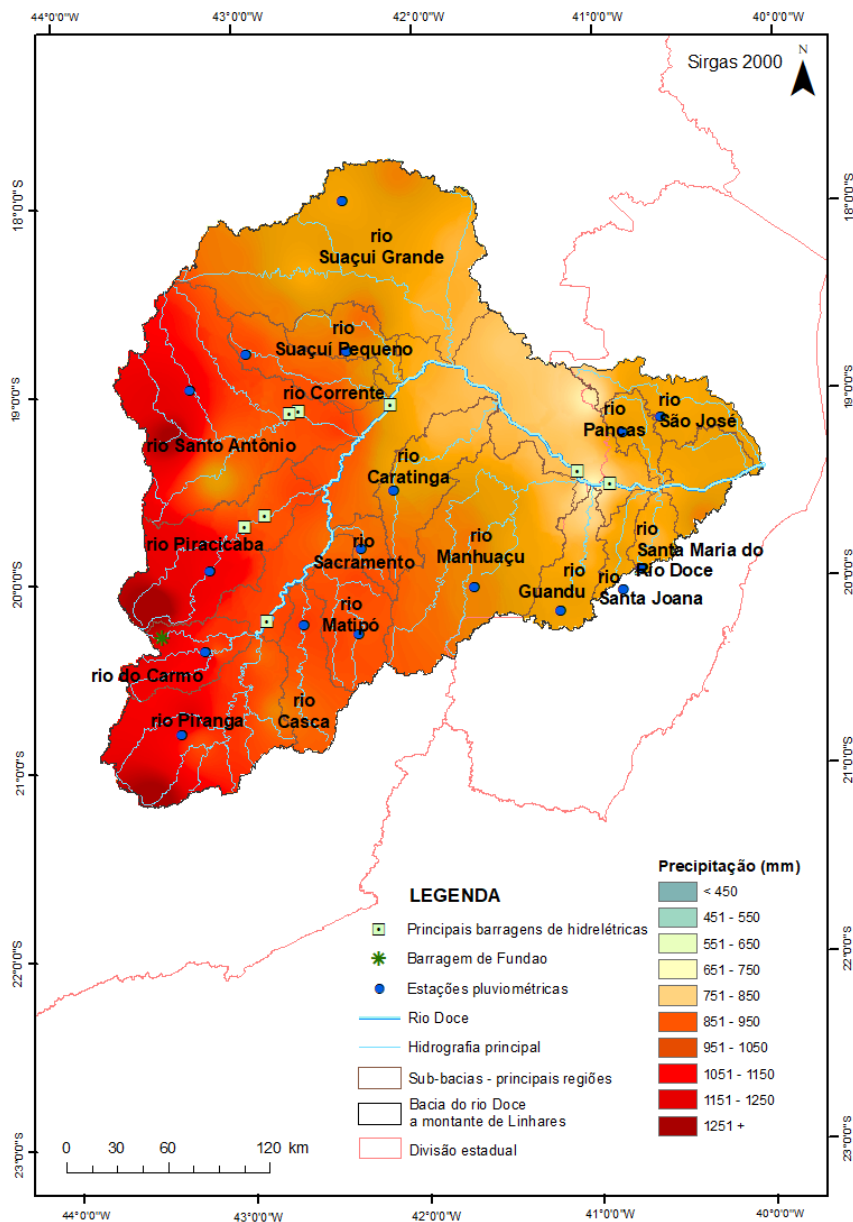


Figura 2: Acumulado de precipitação na Bacia do Rio Doce no período chuvoso do Ano 1 (outubro de 2018 a março de 2019)

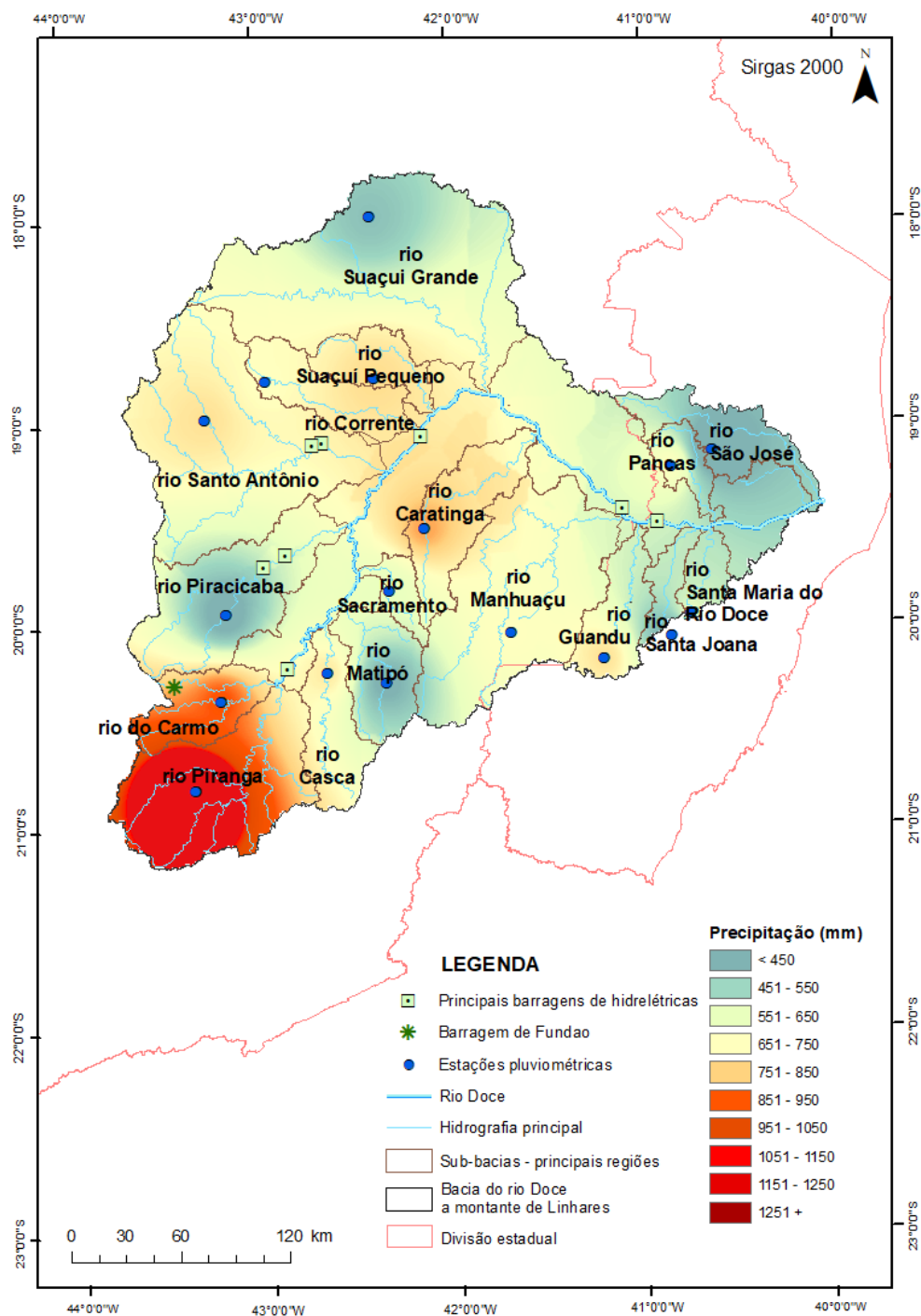


Figura 3: Acumulado de precipitação na Bacia do Rio Doce no período chuvoso do Ano 2 (outubro de 2019 a março de 2020)

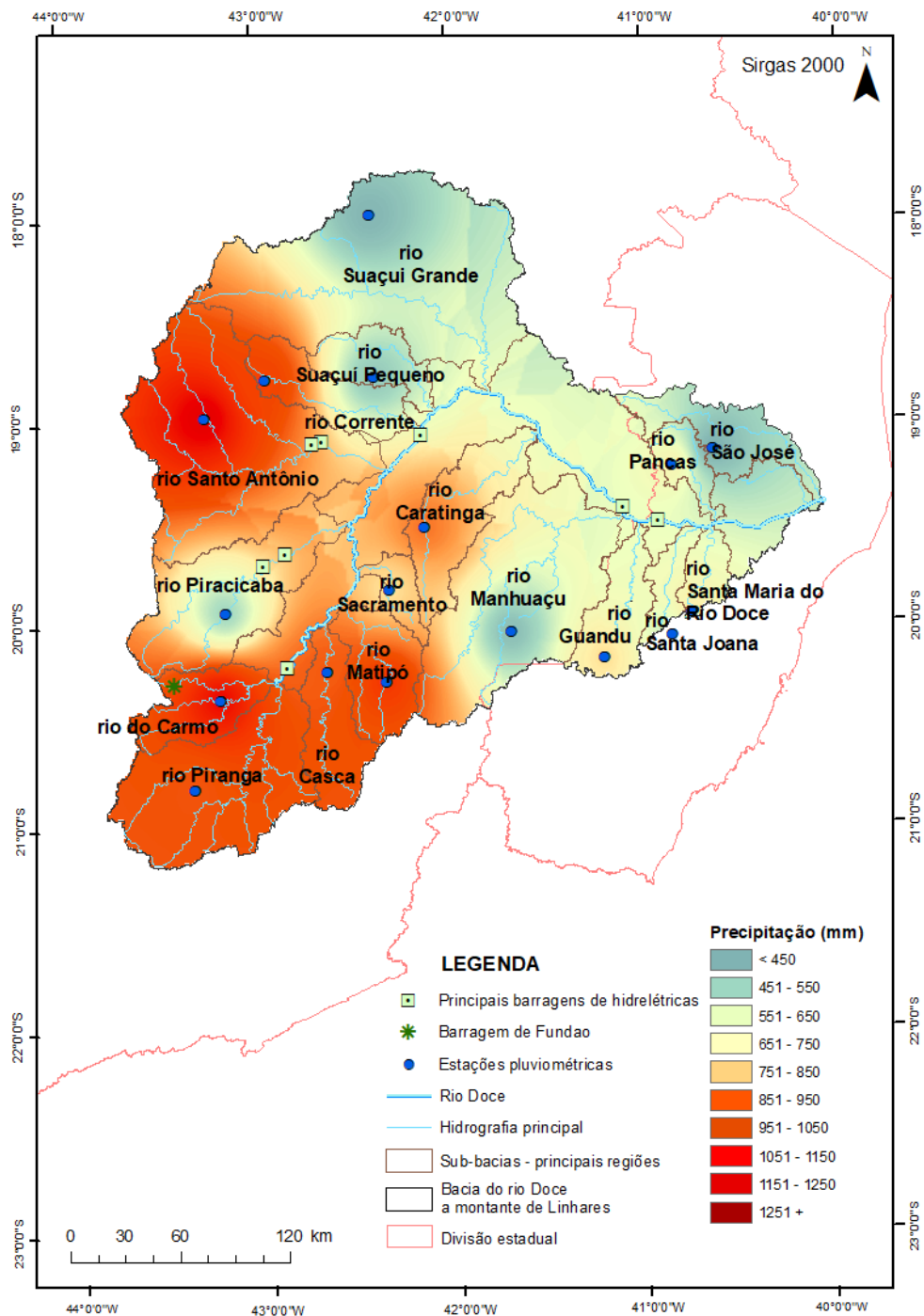


Figura 4: Acumulado de precipitação na Bacia do Rio Doce no período chuvoso do Ano 3 (outubro de 2020 a março de 2021)

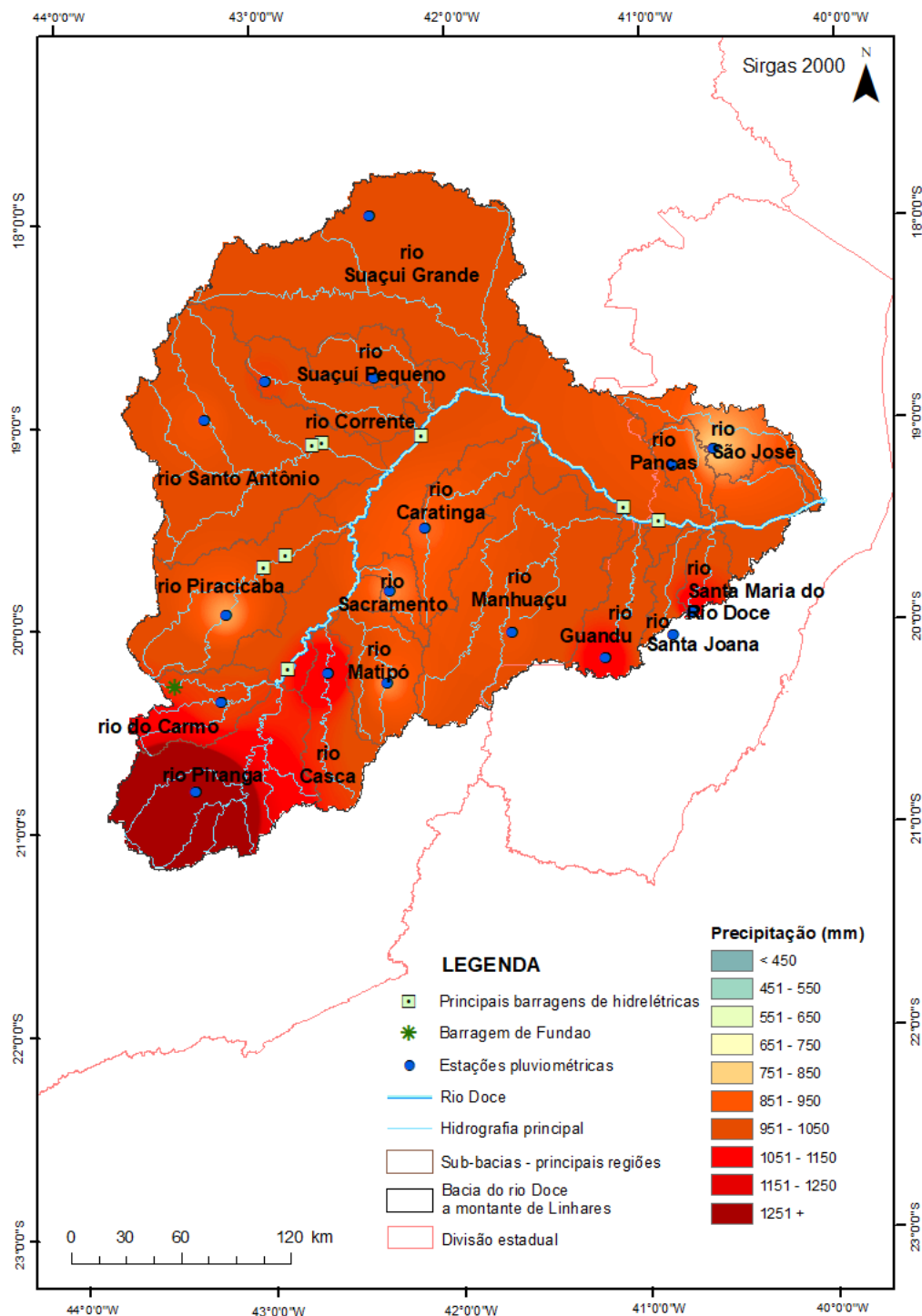


Figura 5: Acumulado de precipitação na Bacia do Rio Doce no período chuvoso do Ano 4 (outubro de 2021 a março de 2022)

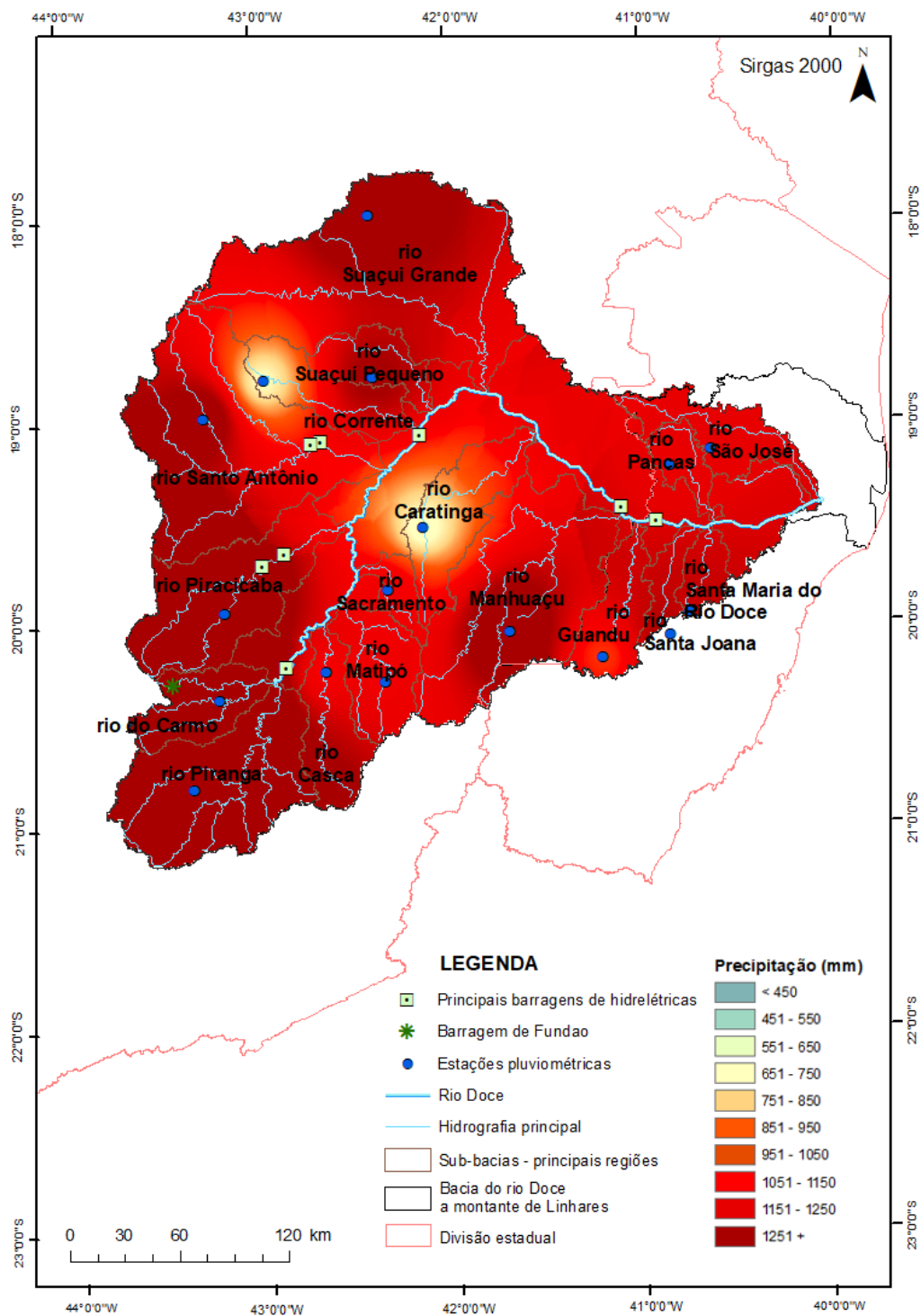


Figura 6: Precipitações pluviométricas mensais e totais pluviométricos, em mm, no período chuvoso (outubro a março) para Ano 1, Ano 2, Ano 3 e Ano 4 – Bacia do rio Suaçuí Grande (MG)

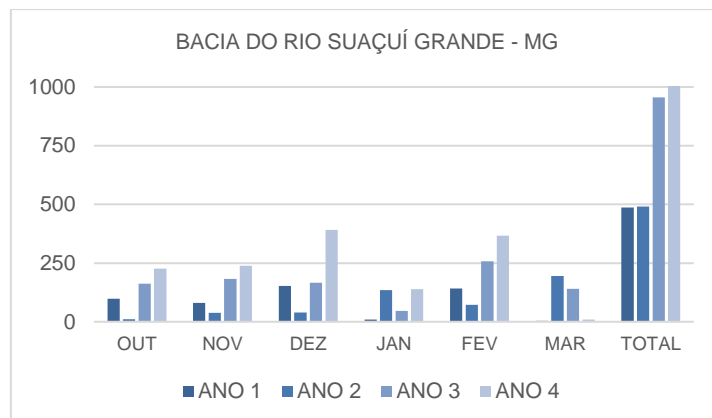


Figura 7: Precipitações pluviométricas mensais e totais pluviométricos, em mm, no período chuvoso (outubro a março) para Ano 1, Ano 2, Ano 3 e Ano 4 – Bacia do rio Suaçuí Pequeno (MG)

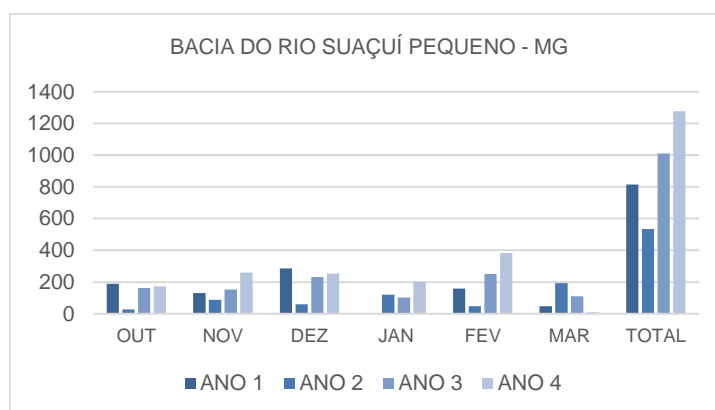


Figura 8: Precipitações pluviométricas mensais e totais pluviométricos, em mm, no período chuvoso (outubro a março) para Ano 1, Ano 2, Ano 3 e Ano 4 – Bacia do rio Corrente (MG)

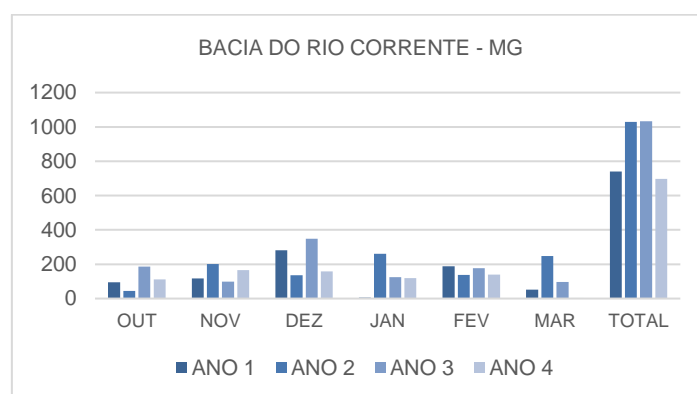


Figura 9: Precipitações pluviométricas mensais e totais pluviométricos, em mm, no período chuvoso (outubro a março) para Ano 1, Ano 2, Ano 3 e Ano 4 – Bacia do rio Caratinga (MG)

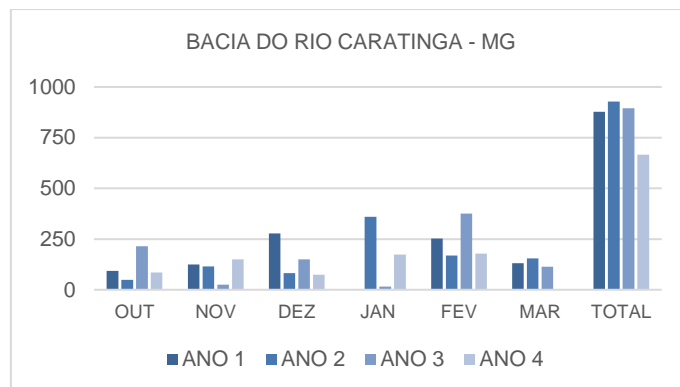


Figura 10: Precipitações pluviométricas mensais e totais pluviométricos, em mm, no período chuvoso (outubro a março) para Ano 1, Ano 2, Ano 3 e Ano 4 – Bacia do rio Santo Antônio (MG)

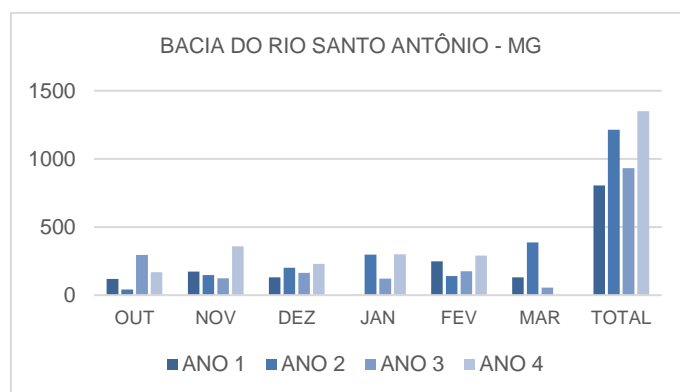


Figura 11: Precipitações pluviométricas mensais e totais pluviométricos, em mm, no período chuvoso (outubro a março) para Ano 1, Ano 2, Ano 3 e Ano 4 – Bacia do rio São José (ES)

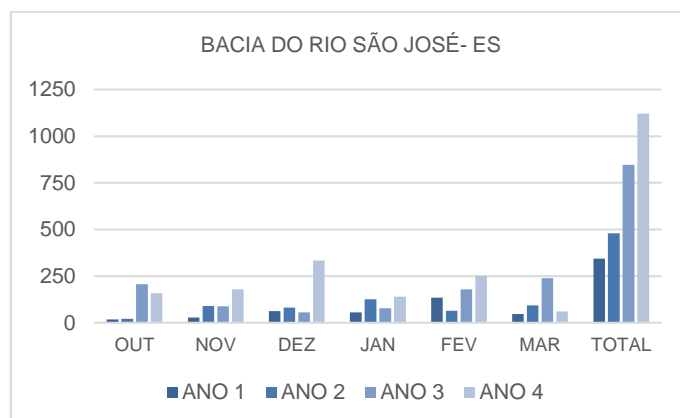


Figura 12: Precipitações pluviométricas mensais e totais pluviométricos, em mm, no período chuvoso (outubro a março) para Ano 1, Ano 2, Ano 3 e Ano 4 – Bacia do rio Pancas (ES)

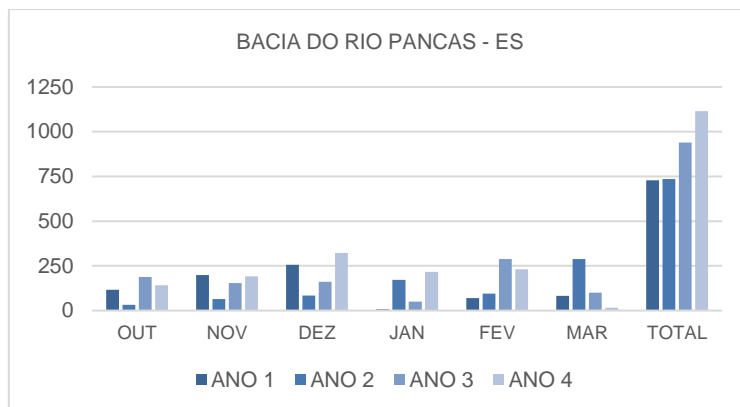


Figura 13: Precipitações pluviométricas mensais e totais pluviométricos, em mm, no período chuvoso (outubro a março) para Ano 1, Ano 2, Ano 3 e Ano 4 – Bacia do rio Manhuaçu (MG)

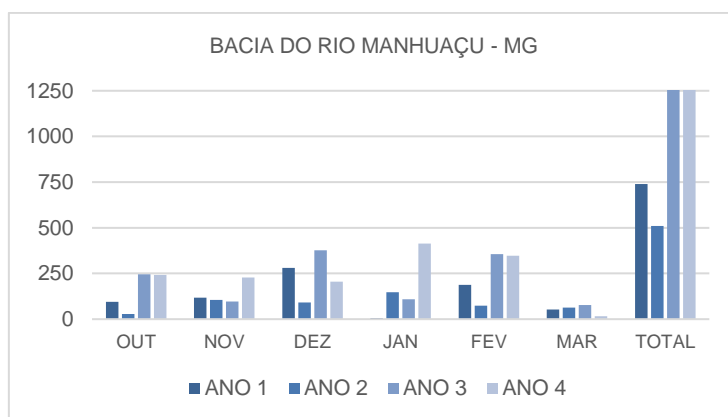


Figura 14: Precipitações pluviométricas mensais e totais pluviométricos, em mm, no período chuvoso (outubro a março) para Ano 1, Ano 2, Ano 3 e Ano 4 – Bacia do rio Piracicaba (MG)

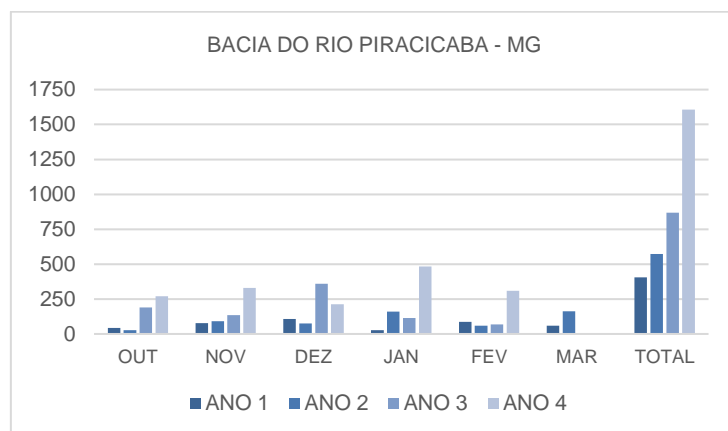


Figura 15: Precipitações pluviométricas mensais e totais pluviométricos, em mm, no período chuvoso (outubro a março) para Ano 1, Ano 2, Ano 3 e Ano 4 – Bacia do rio Santa Maria do Rio Doce (ES)

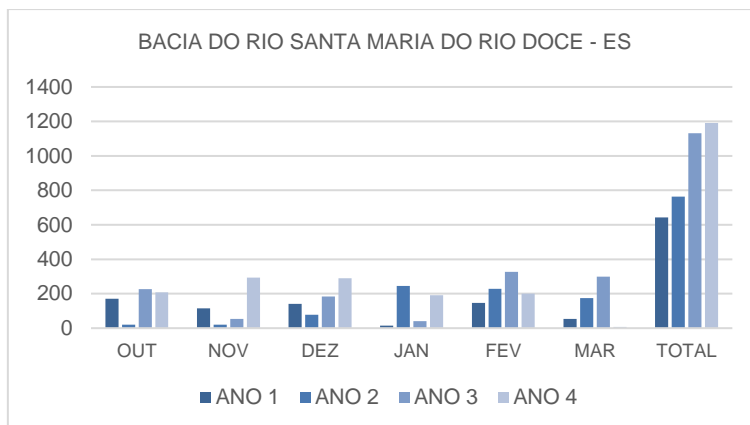


Figura 16: Precipitações pluviométricas mensais e totais pluviométricos, em mm, no período chuvoso (outubro a março) para Ano 1, Ano 2, Ano 3 e Ano 4 – Bacia do rio Guandu (ES)

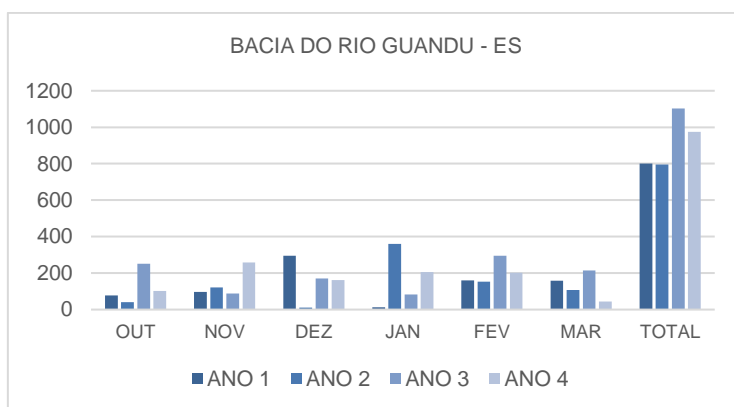


Figura 17: Precipitações pluviométricas mensais e totais pluviométricos, em mm, no período chuvoso (outubro a março) para Ano 1, Ano 2, Ano 3 e Ano 4 – Bacia do rio Santa Joana (ES)

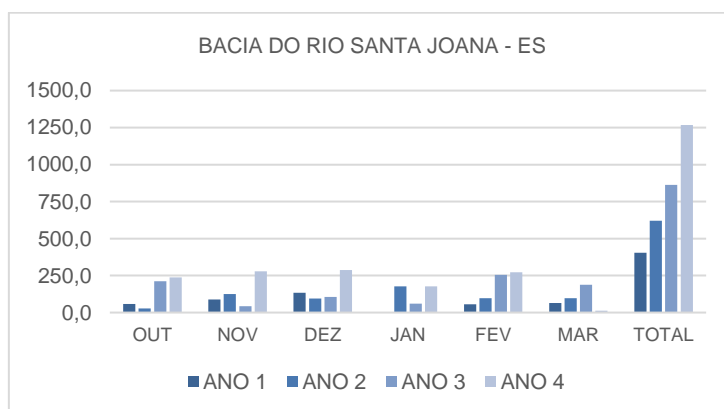


Figura 18: Precipitações pluviométricas mensais e totais pluviométricos, em mm, no período chuvoso (outubro a março) para Ano 1, Ano 2, Ano 3 e Ano 4 – Bacia do rio Sacramento (MG)

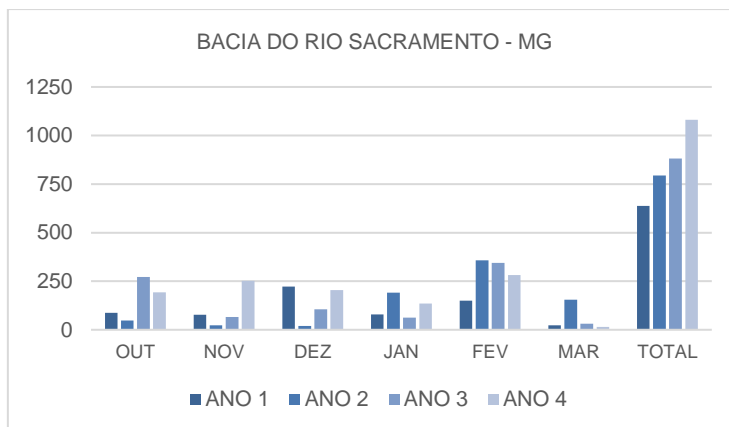


Figura 19: Precipitações pluviométricas mensais e totais pluviométricos, em mm, no período chuvoso (outubro a março) para Ano 1, Ano 2, Ano 3 e Ano 4 – Bacia do rio Matipó (MG)

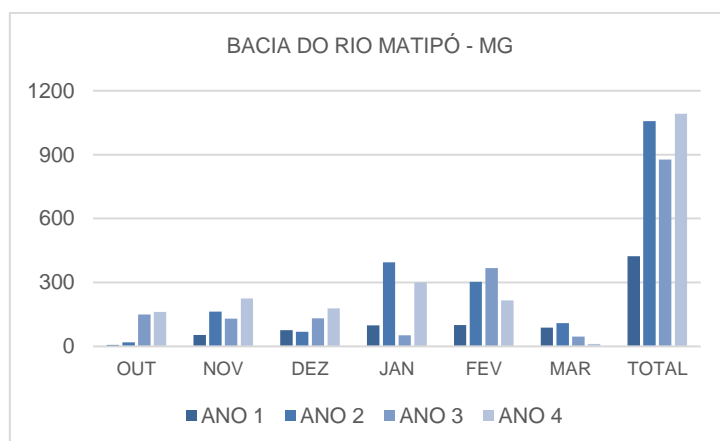


Figura 20: Precipitações pluviométricas mensais e totais pluviométricos, em mm, no período chuvoso (outubro a março) para Ano 1, Ano 2, Ano 3 e Ano 4 – Bacia do rio Casca (MG)

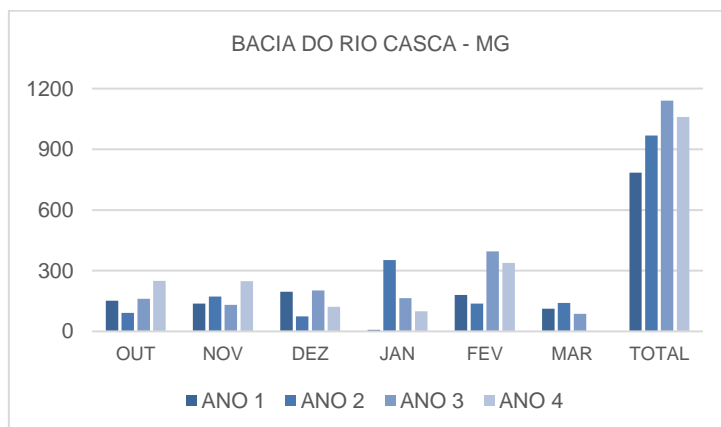


Figura 21: Precipitações pluviométricas mensais e totais pluviométricos, em mm, no período chuvoso (outubro a março) para Ano 1, Ano 2, Ano 3 e Ano 4 – Bacia do rio do Carmo (MG)

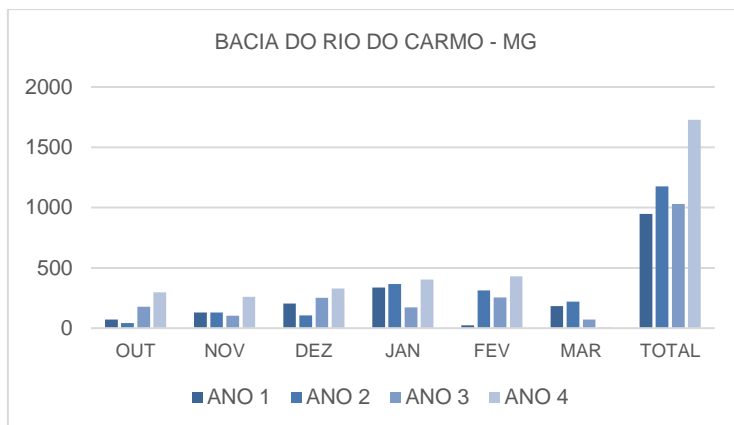


Figura 22: Precipitações pluviométricas mensais e totais pluviométricos, em mm, no período chuvoso (outubro a março) para Ano 1, Ano 2, Ano 3 e Ano 4 – Bacia do rio Piranga (MG)

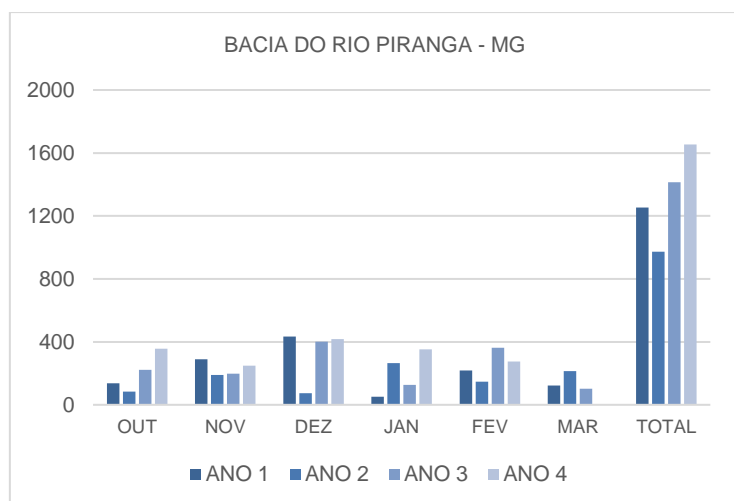


Tabela 1: Contribuição real (simulada) e relativa das regiões e sub-bacias do rio Doce no fluxo de água nos 7 dias antecedentes às campanhas 1, 2 e 3

Região	Campanha 1		Campanha 2		Campanha 3	
	m³/s	%	m³/s	%	m³/s	%
Montante do lago UHE Aimorés	526,81	86,24	712,15	85,11	771,54	84,56
Pancas ES	7,18	1,18	9,81	1,17	21,66	2,37
Manhuaçu MG	24,48	4,01	36,33	4,34	41,14	4,51
Guandu ES	23,05	3,77	24,55	2,93	31,62	3,47
Santa Joana ES	9,46	1,55	11,02	1,32	12,57	1,38
São José	11,50	1,88	16,40	1,96	20,46	2,24
Santa Maria do Rio Doce ES	8,42	1,38	26,45	3,16	13,46	1,48
Linhares montante	610,90	100	836,71	100	912,44	100

Tabela 2: Contribuição real (simulada) e relativa das regiões e sub-bacias do rio Doce no fluxo de água durante as campanhas 1, 2 e 3

Região	Campanha 1		Campanha 2		Campanha 3	
	m³/s	%	m³/s	%	m³/s	%
Montante do lago UHE Aimorés	698,1	88,3	701,2	86,3	715,2	85,3
Pancas ES	9,5	1,2	9,5	1,2	8,9	1,1
Manhuaçu MG	29,0	3,7	30,2	3,7	36,7	4,4
Guandu ES	22,5	2,8	22,2	2,7	33,9	4,0
Santa Joana ES	8,2	1,0	12,9	1,6	17,8	2,1
São José	767,4	97,1	776,1	95,5	16,5	2,0
Santa Maria do Rio Doce ES	13,1	1,7	22,5	2,8	9,7	1,2
Linhares montante	9,8	1,2	13,9	1,7	838,6	100,0

Tabela 3: Contribuição real (simulada) e relativa das regiões e sub-bacias do rio Doce no fluxo de água nos 7 dias antecedentes às campanhas 4, 5 e 6

Região	Campanha 4		Campanha 5		Campanha 6	
	m³/s	%	m³/s	%	m³/s	%
Montante do lago UHE Aimorés	624,23	86,48	712,33	84,57	633,49	86,59
Pancas ES	11,48	1,59	8,84	1,05	8,72	1,19
Manhuaçu MG	34,68	4,80	34,92	4,15	31,41	4,29
Guandu ES	21,81	3,02	48,03	5,70	27,42	3,75
Santa Joana ES	6,38	0,88	11,55	1,37	7,70	1,05
São José	13,85	1,92	13,28	1,58	13,37	1,83
Santa Maria do Rio Doce ES	9,40	1,30	13,36	1,59	9,46	1,29
Linhares montante	721,84	100	842,31	100	731,57	100

Tabela 4: Contribuição real (simulada) e relativa das regiões e sub-bacias do rio Doce no fluxo de água durante as campanhas 4, 5 e 6

Região	Campanha 4		Campanha 5		Campanha 6	
	m³/s	%	m³/s	%	m³/s	%
Montante do lago UHE Aimorés	589,3	87,3	695,8	85,8	1122,6	90,6
Pancas ES	6,1	0,9	7,4	0,9	6,8	0,5
Manhuaçu MG	28,9	4,3	35,5	4,4	37,5	3,0
Guandu ES	19,6	2,9	37,9	4,7	25,2	2,0
Santa Joana ES	9,2	1,4	8,7	1,1	8,6	0,7
São José	653,0	96,8	785,2	96,8	1200,6	96,9
Santa Maria do Rio Doce ES	12,0	1,8	12,7	1,6	24,2	2,0
Linhares montante	10,0	1,5	13,3	1,6	14,6	1,2

Tabela 5: Contribuição real (simulada) e relativa das regiões e sub-bacias do rio Doce no fluxo de água nos 7 dias antecedentes às campanhas 7, 8 e 9

Região	Campanha 7		Campanha 8		Campanha 9	
	m³/s	%	m³/s	%	m³/s	%
Montante do lago UHE Aimorés	585,02	87,07	493,17	85,72	465,83	83,46
Pancas ES	8,31	1,24	8,14	1,42	7,34	1,32
Manhuaçu MG	28,55	4,25	29,27	5,09	30,35	5,44
Guandu ES	21,42	3,19	17,70	3,08	16,84	3,02
Santa Joana ES	6,51	0,97	5,90	1,03	5,68	1,02
São José	13,19	1,96	12,07	2,10	9,84	1,76
Santa Maria do Rio Doce ES	8,89	1,32	9,06	1,58	22,25	3,99
Linhares montante	671,88	100	575,31	100	558,13	100

Tabela 6: Contribuição real (simulada) e relativa das regiões e sub-bacias do rio Doce no fluxo de água durante as campanhas 7, 8 e 9

Região	Campanha 7		Campanha 8		Campanha 9	
	m³/s	%	m³/s	%	m³/s	%
Montante do lago UHE Aimorés	601,5	86,9	519,0	86,2	486,0	85,0
Pancas ES	7,3	1,0	5,8	1,0	5,8	1,0
Manhuaçu MG	28,4	4,1	31,5	5,2	27,7	4,8
Guandu ES	21,5	3,1	17,3	2,9	16,7	2,9
Santa Joana ES	10,5	1,5	8,0	1,3	6,9	1,2
São José	12,4	1,8	11,1	1,8	9,7	1,7
Santa Maria do Rio Doce ES	10,4	1,5	9,5	1,6	19,2	3,4
Linhares montante	691,9	100,0	602,3	100,0	571,9	100,0

Tabela 7: Contribuição real (simulada) e relativa das regiões e sub-bacias do rio Doce no fluxo de água nos 7 dias antecedentes às campanhas 10, 11 e 12

Região	Campanha 10		Campanha 11		Campanha 12	
	m³/s	%	m³/s	%	m³/s	%
Montante do lago UHE Aimorés	442,9	84,3	428,4	85,9	400,5	86,0
Pancas ES	5,6	1,1	5,7	1,2	5,4	1,2
Manhuaçu MG	21,7	4,1	21,2	4,2	19,6	4,2
Guandu ES	16,2	3,1	16,1	3,2	15,4	3,3
Santa Joana ES	6,2	1,2	6,1	1,2	5,6	1,2
São José	9,5	1,8	9,5	1,9	9,7	2,1
Santa Maria do Rio Doce ES	23,0	4,4	11,6	2,3	17,02	3,7
Linhares montante	525,2	100,0	498,5	100,0	465,5	100,0

Tabela 8: Contribuição real (simulada) e relativa das regiões e sub-bacias do rio Doce no fluxo de água durante as campanhas 10, 11 e 12

Região	Campanha 10		Campanha 11		Campanha 12	
	m³/s	%	m³/s	%	m³/s	%
Montante do lago UHE Aimorés	470,01	84,62	482,04	87,31	426,33	86,70
Pancas ES	6,35	1,14	6,08	1,10	5,47	1,11
Manhuaçu MG	22,08	3,98	21,24	3,85	19,72	4,01
Guandu ES	16,26	2,93	16,08	2,91	15,44	3,14
Santa Joana ES	5,68	1,02	5,85	1,06	5,66	1,15
São José	9,59	1,73	9,48	1,72	9,72	1,98
Santa Maria do Rio Doce ES	25,46	4,58	11,36	2,06	9,40	1,91
Linhares montante	555,44	100	552,12	100	491,73	100

Tabela 9: Contribuição real (simulada) e relativa das regiões e sub-bacias do rio Doce no fluxo de água nos 7 dias antecedentes às campanhas 13, 14 e 15

Região	Campanha 13		Campanha 14		Campanha 15	
	m³/s	%	m³/s	%	m³/s	%
Montante do lago UHE Aimorés	704,99	81,50	775,46	85,00	587,75	80,83
Pancas ES	15,47	1,79	10,98	1,20	9,43	1,30
Manhuaçu MG	75,44	8,72	57,91	6,35	53,88	7,41
Guandu ES	25,91	3,00	20,41	2,24	35,42	4,87
Santa Joana ES	11,22	1,30	11,68	1,28	10,58	1,45
São José	15,54	1,80	17,09	1,87	12,59	1,73
Santa Maria do Rio Doce ES	16,49	1,91	18,81	2,06	17,55	2,41
Linhares montante	865,00	100	912,32	100	727,18	100

Tabela 10: Contribuição real (simulada) e relativa das regiões e sub-bacias do rio Doce no fluxo de água durante as campanhas 13, 14 e 15

Região	Campanha 13		Campanha 14		Campanha 15	
	m³/s	%	m³/s	%	m³/s	%
Montante do lago UHE Aimorés	737,1	81,3	706,2	82,8	707,0	81,7
Pancas ES	14,9	1,6	11,6	1,4	13,1	1,5
Manhuaçu MG	77,6	8,6	59,7	7,0	57,1	6,6
Guandu ES	25,5	2,8	21,0	2,5	34,8	4,0
Santa Joana ES	20,8	2,3	10,3	1,2	15,6	1,8
São José	14,0	1,5	22,0	2,6	16,7	1,9
Santa Maria do Rio Doce ES	17,02	1,9	17,02	2,0	17,02	2,0
Linhares montante	907,0	100,0	852,8	100,0	865,6	100,0

Tabela 11: Contribuição real (simulada) e relativa das regiões e sub-bacias do rio Doce no fluxo de água nos 7 dias antecedentes às campanhas 16 e 17

Região	Campanha 16		Campanha 17	
	m³/s	%	m³/s	%
Montante do lago UHE Aimorés	1041,00	84,77	1763,84	86,78
Pancas ES	11,51	0,94	22,42	1,10
Manhuaçu MG	52,67	4,29	85,48	4,21
Guandu ES	36,56	2,98	42,58	2,10
Santa Joana ES	18,98	1,55	30,98	1,52
São José	31,23	2,54	42,87	2,11
Santa Maria do Rio Doce ES	36,02	2,93	44,34	2,18
Linhares montante	1227,98	100	2032,49	100

Tabela 12: Contribuição real (simulada) e relativa das regiões e sub-bacias do rio Doce no fluxo de água durante as campanhas 16 e 17

Região	Campanha 16		Campanha 17	
	m³/s	%	m³/s	%
Montante do lago UHE Aimorés	912,6	83,2	1721,4	87,2
Pancas ES	10,8	1,0	20,1	1,0
Manhuaçu MG	50,0	4,6	80,6	4,1
Guandu ES	39,0	3,6	40,6	2,1
Santa Joana ES	19,8	1,8	27,4	1,4
São José	29,4	2,7	42,2	2,1
Santa Maria do Rio Doce ES	17,02	1,6	17,02	0,9
Linhares montante	1096,8	100,0	1974,1	100,0

Tabela 13: Contribuição real (simulada) e relativa das regiões e sub-bacias do rio Doce no fluxo de água nos 7 dias antecedentes às campanhas 27, 28 e 29

Região	Campanha 27		Campanha 28		Campanha 29	
	m³/s	%	m³/s	%	m³/s	%
Montante do lago UHE Aimorés	739,7	71,1	749,3	72,5	739,1	72,3
Pancas ES	9,9	1,0	7,7	0,7	12,9	1,3
Manhuaçu MG	28,4	2,7	29,1	2,8	37,3	3,6
Guandu ES	28,5	2,7	27,3	2,6	24,3	2,4
Santa Joana ES	10,9	1,0	13,8	1,3	10,0	1,0
São José	15,1	1,5	17,1	1,7	15,3	1,5
Santa Maria do Rio Doce ES	21,6	2,1	20,4	2,0	17,8	1,7
Linhares montante	1040,5	100,0	1033,4	100,0	1021,9	100,0

Tabela 14: Contribuição real (simulada) e relativa das regiões e sub-bacias do rio Doce no fluxo de água durante as campanhas 27, 28 e 29

Região	Campanha 27		Campanha 28		Campanha 29	
	m³/s	%	m³/s	%	m³/s	%
Montante do lago UHE Aimorés	684,0	70,9	702,3	74,0	755,8	70,0
Pancas ES	7,8	0,8	7,7	0,8	10,0	0,9
Manhuaçu MG	26,4	2,7	26,1	2,7	40,6	3,8
Guandu ES	25,3	2,6	22,8	2,4	36,4	3,4
Santa Joana ES	9,4	1,0	11,5	1,2	11,8	1,1
São José	14,2	1,5	13,4	1,4	17,6	1,6
Santa Maria do Rio Doce ES	17,02	1,8	17,02	1,8	17,02	1,6
Linhares montante	964,3	100,0	949,3	100,0	1078,9	100,0

Tabela 15: Contribuição real (simulada) e relativa das regiões e sub-bacias do rio Doce no fluxo de água nos 7 dias antecedentes às campanhas 31, 32 e 33

Região	Campanha 31		Campanha 32		Campanha 33	
	m³/s	%	m³/s	%	m³/s	%
Montante do lago UHE Aimorés	538,7	72,1	504,3	72,9	487,0	73,1
Pancas ES	7,1	0,9	6,0	0,9	6,2	0,9
Manhuaçu MG	25,9	3,5	23,5	3,4	21,5	3,2
Guandu ES	21,0	2,8	18,7	2,7	18,3	2,7
Santa Joana ES	8,2	1,1	8,5	1,2	7,9	1,2
São José	9,8	1,3	9,6	1,4	9,5	1,4
Santa Maria do Rio Doce ES	15,4	2,1	15,3	2,2	14,9	2,2
Linhares montante	747,0	100,0	691,3	100,0	666,2	100,0

Tabela 16: Contribuição real (simulada) e relativa das regiões e sub-bacias do rio Doce no fluxo de água durante as campanhas 31, 32 e 33

Região	Campanha 31		Campanha 32		Campanha 33	
	m³/s	%	m³/s	%	m³/s	%
Montante do lago UHE Aimorés	523,2	72,5	496,1	73,1	486,6	73,2
Pancas ES	6,3	0,9	5,9	0,9	6,0	0,9
Manhuaçu MG	24,8	3,4	22,9	3,4	21,4	3,2
Guandu ES	19,7	2,7	18,3	2,7	18,7	2,8
Santa Joana ES	9,7	1,3	7,9	1,2	7,4	1,1
São José	10,7	1,5	9,7	1,4	9,5	1,4
Santa Maria do Rio Doce ES	17,02	2,4	17,02	2,5	17,02	2,6
Linhares montante	721,3	100,0	678,8	100,0	664,8	100,0

Tabela 17: Contribuição real (simulada) e relativa das regiões e sub-bacias do rio Doce no fluxo de água nos 7 dias antecedentes às campanhas 34, 35 e 36

Região	Campanha 34		Campanha 35		Campanha 36	
	m³/s	%	m³/s	%	m³/s	%
Montante do lago UHE Aimorés	471,9	73,2	470,1	73,1	473,9	73,2
Pancas ES	5,8	0,9	5,9	0,9	6,1	0,9
Manhuaçu MG	21,1	3,3	21,1	3,3	21,0	3,2
Guandu ES	17,5	2,7	17,8	2,8	17,3	2,7
Santa Joana ES	6,7	1,0	6,5	1,0	6,5	1,0
São José	9,5	1,5	9,5	1,5	9,4	1,5
Santa Maria do Rio Doce ES	14,2	2,2	14,7	2,3	14,1	2,2
Linhares montante	644,6	100,0	642,8	100,0	647,2	100,0

Tabela 18: Contribuição real (simulada) e relativa das regiões e sub-bacias do rio Doce no fluxo de água durante as campanhas 34, 35 e 36

Região	Campanha 34		Campanha 35		Campanha 36	
	m³/s	%	m³/s	%	m³/s	%
Montante do lago UHE Aimorés	470,6	73,1	473,8	73,1	468,0	73,3
Pancas ES	6,1	0,9	5,8	0,9	6,0	0,9
Manhuaçu MG	21,0	3,3	21,6	3,3	20,8	3,3
Guandu ES	17,4	2,7	17,5	2,7	17,1	2,7
Santa Joana ES	6,6	1,0	7,4	1,1	6,5	1,0
São José	9,5	1,5	9,5	1,5	615,1	96,4
Santa Maria do Rio Doce ES	17,02	2,6	17,02	2,6	9,4	1,5
Linhares montante	643,4	100,0	648,1	100,0	17,02	2,7

Tabela 19: Contribuição real (simulada) e relativa das regiões e sub-bacias do rio Doce no fluxo de água nos 7 dias antecedentes às campanhas 38, 39 e 40

Região	Campanha 38		Campanha 39		Campanha 40	
	m³/s	%	m³/s	%	m³/s	%
Montante do lago UHE Aimorés	995,1	69,6	1065,1	73,3	966,2	70,4
Pancas ES	18,8	1,3	13,8	0,9	8,2	0,6
Manhuaçu MG	97,4	6,8	71,7	4,9	46,5	3,4
Guandu ES	51,0	3,6	43,7	3,0	40,2	2,9
Santa Joana ES	21,5	1,5	20,6	1,4	20,6	1,5
São José	19,6	1,4	16,8	1,2	20,0	1,5
Santa Maria do Rio Doce ES	25,1	1,8	20,9	1,4	25,2	1,8
Linhares montante	1429,6	100,0	1453,4	100,0	1372,9	100,0

Tabela 20: Contribuição real (simulada) e relativa das regiões e sub-bacias do rio Doce no fluxo de água durante as campanhas 38, 39 e 40

Região	Campanha 38		Campanha 39		Campanha 40	
	m³/s	%	m³/s	%	m³/s	%
Montante do lago UHE Aimorés	1062,2	71,4	1016,0	73,8	861,2	72,3
Pancas ES	13,9	0,9	10,2	0,7	7,6	0,6
Manhuaçu MG	77,8	5,2	59,0	4,3	40,6	3,4
Guandu ES	84,3	5,7	37,0	2,7	32,6	2,7
Santa Joana ES	16,2	1,1	22,2	1,6	15,3	1,3
São José	18,9	1,3	21,3	1,5	18,8	1,6
Santa Maria do Rio Doce ES	17,02	1,1	17,02	1,2	17,02	1,4
Linhares montante	1487,8	100,0	1377,6	100,0	1190,4	100,0

Tabela 21: Contribuição real (simulada) e relativa das regiões e sub-bacias do rio Doce no fluxo de água nos 7 dias antecedentes às campanhas 41 e 42

Região	Campanha 41		Campanha 42	
	m³/s	%	m³/s	%
Montante do lago UHE Aimorés	1311,7	67,5	736,9	73,6
Pancas ES	7,1	0,4	6,6	0,7
Manhuaçu MG	85,6	4,4	40,4	4,0
Guandu ES	53,3	2,7	30,7	3,1
Santa Joana ES	30,6	1,6	12,7	1,3
São José	25,1	1,3	16,9	1,7
Santa Maria do Rio Doce ES	30,2	1,6	21,8	2,2
Linhares montante	1944,6	100,0	1000,9	100,0

Tabela 22: Contribuição real (simulada) e relativa das regiões e sub-bacias do rio Doce no fluxo de água durante as campanhas 41 e 42

Região	Campanha 41		Campanha 42	
	m³/s	%	m³/s	%
Montante do lago UHE Aimorés	1300,8	68,2	658,6	76,5
Pancas ES	6,9	0,4	6,8	0,8
Manhuaçu MG	96,2	5,0	26,0	3,0
Guandu ES	74,2	3,9	23,0	2,7
Santa Joana ES	33,3	1,7	13,0	1,5
São José	32,5	1,7	13,0	1,5
Santa Maria do Rio Doce ES	17,02	0,9	17,02	2,0
Linhares montante	1907,1	100,0	860,5	100,0

1.1 MONITORAMENTO DE FLUXOS DE ÁGUA E SEDIMENTOS

Figura 23: Curva-chave de vazão no E21, obtida com dados do PMBA/FEST-RRDM (N=31).

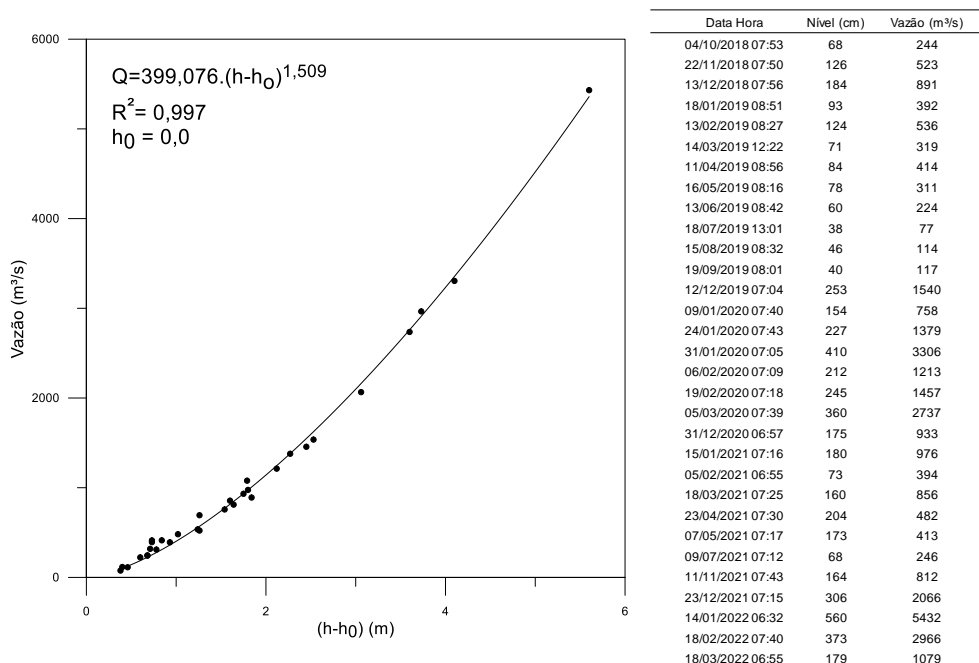


Figura 24: Vazões médias diárias estimadas no Rio Doce (E21), obtidas com dados do PMBA/Fest-RRDM.

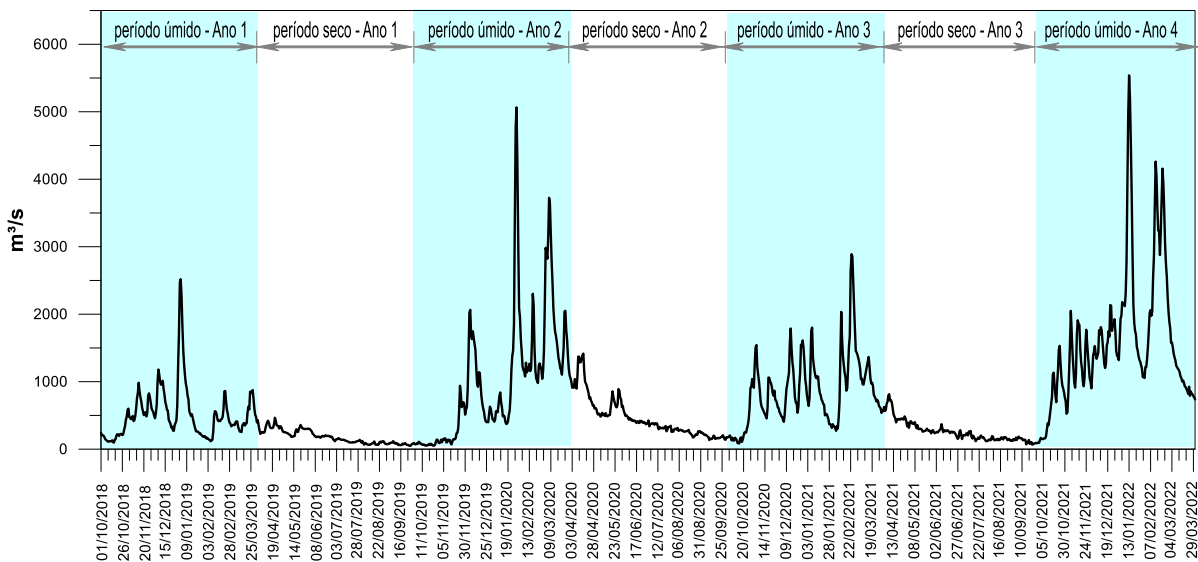


Figura 25: Curvas-chave de sedimentos para a estação amostral E21, obtida com dados do PMBA (N=31).

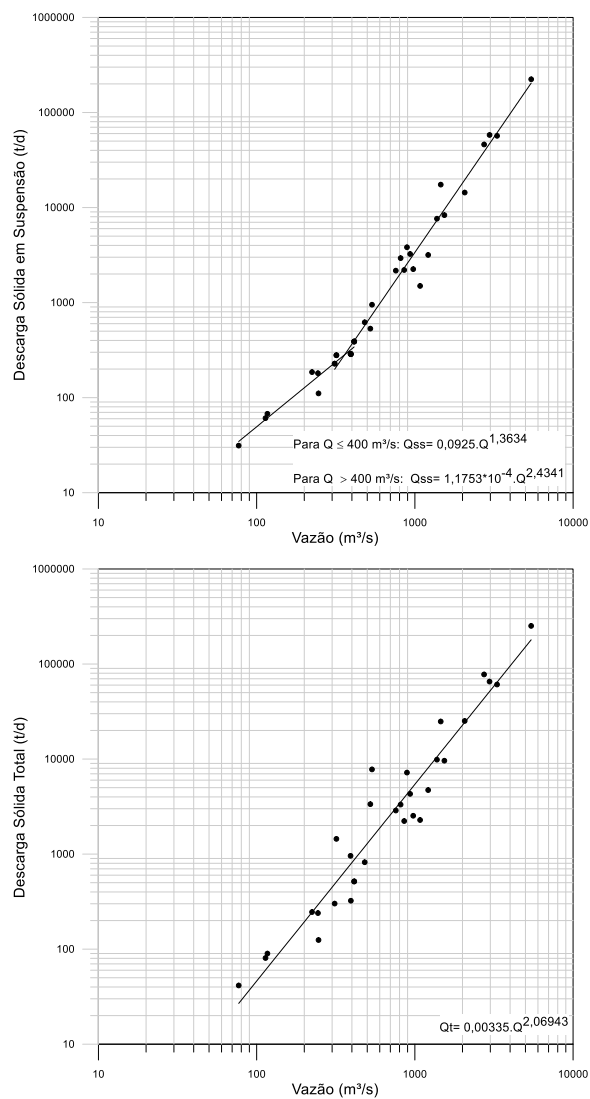


Figura 26: Descargas médias diárias de sedimentos totais e suspensos estimadas para o Rio Doce (E21).

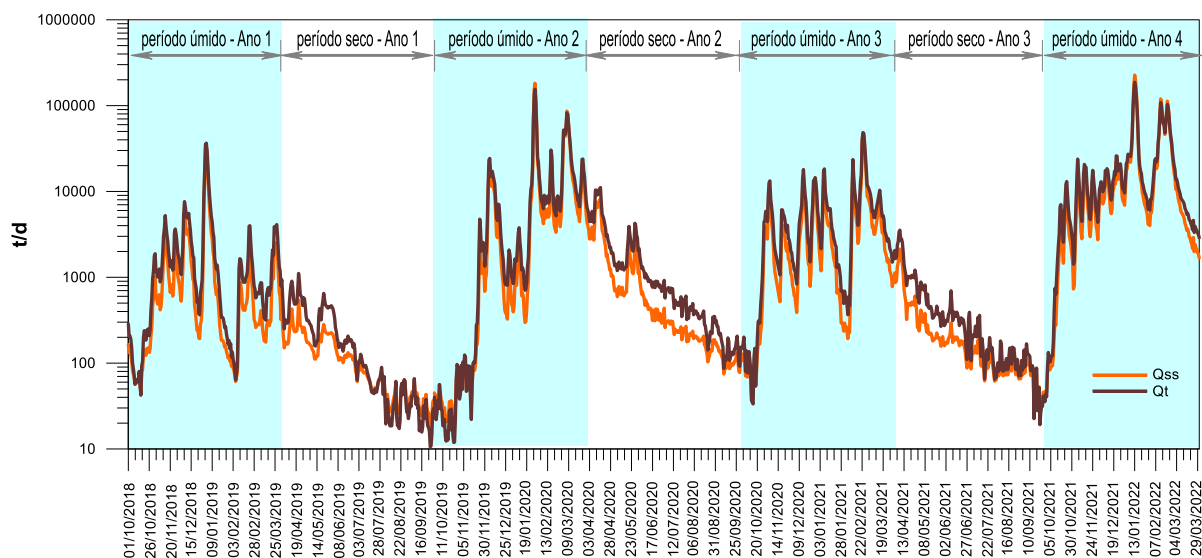


Figura 27: Estimativas de fluxos de Fósforo Total (PT) na estação E21.

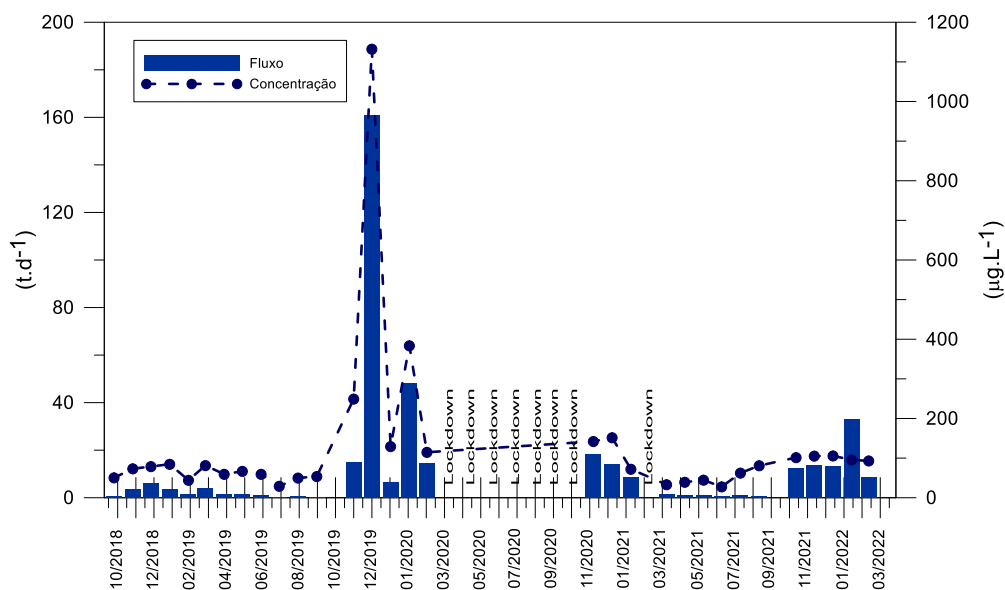


Figura 28: Estimativas de fluxos de Fósforo Inorgânico Dissolvido (PID) na estação E21.

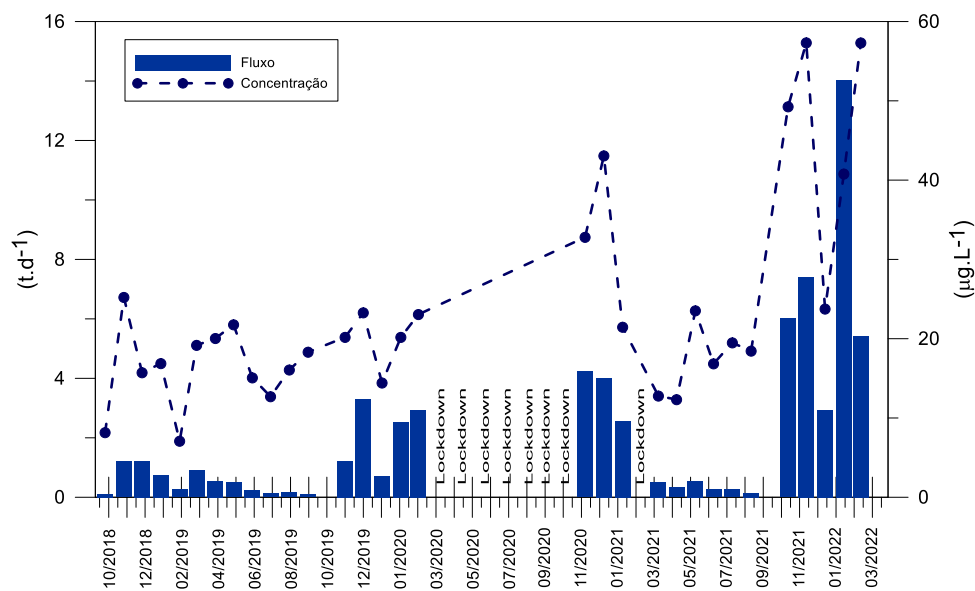


Figura 29: Estimativas de fluxos de Nitrogênio Total (NT) na estação E21.

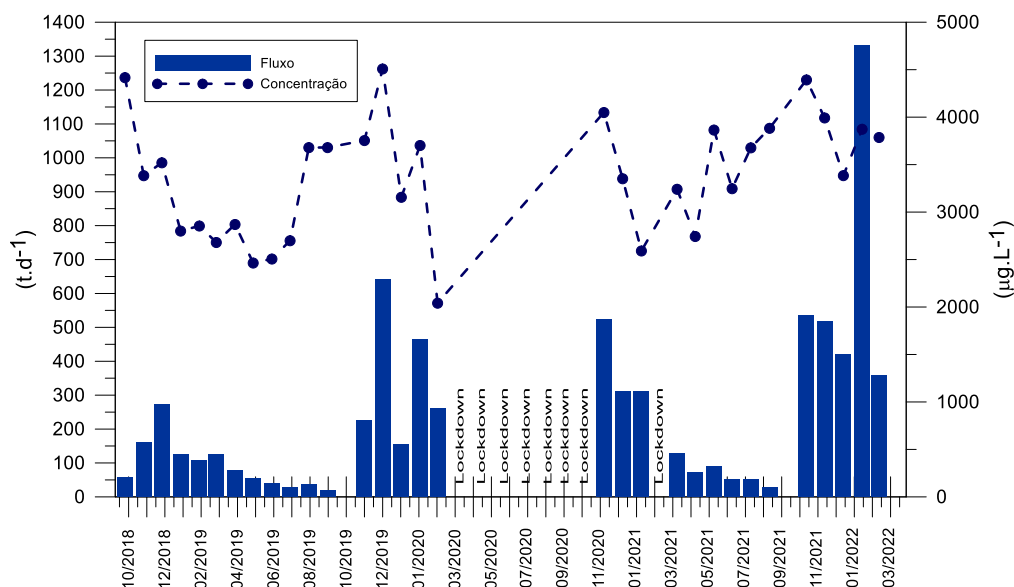


Figura 30: Estimativas de fluxos de Nitrogênio Inorgânico Dissolvido (PID) na estação E21.

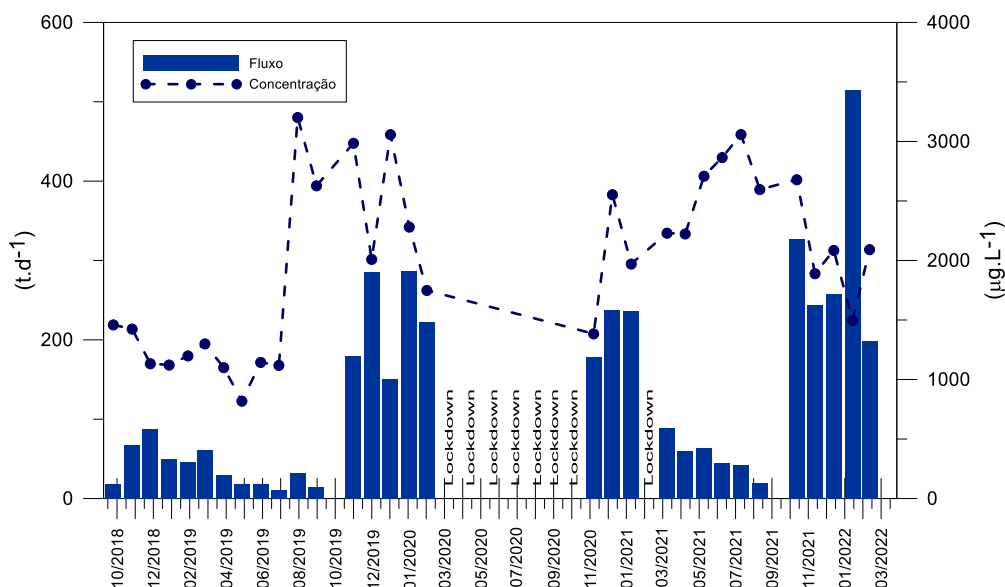


Figura 31: Estimativas de fluxos de Alumínio Total na estação E21.

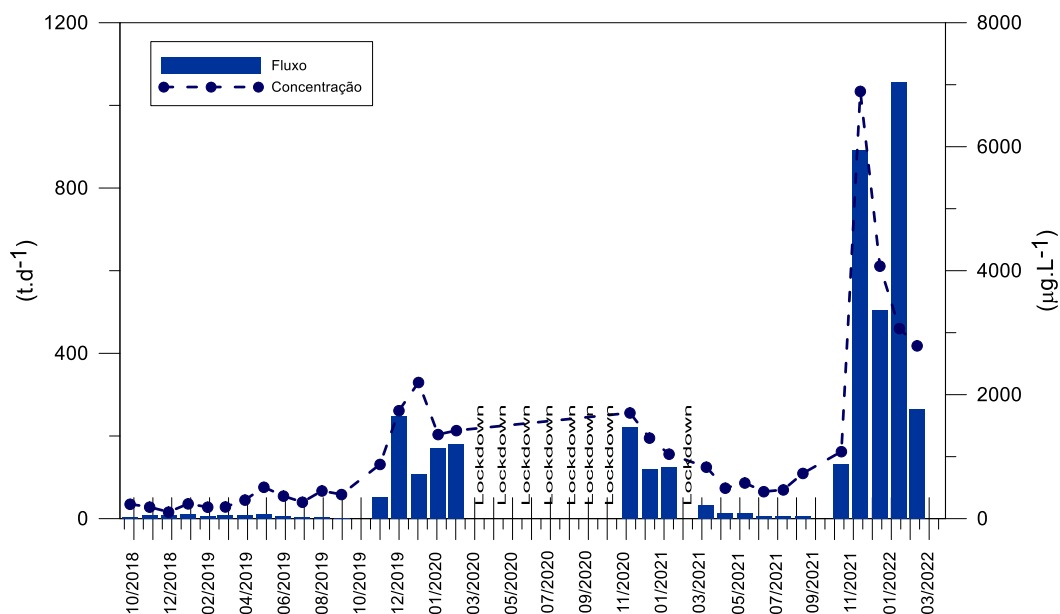


Figura 32: Estimativas de fluxos de Ferro Total na estação E21.

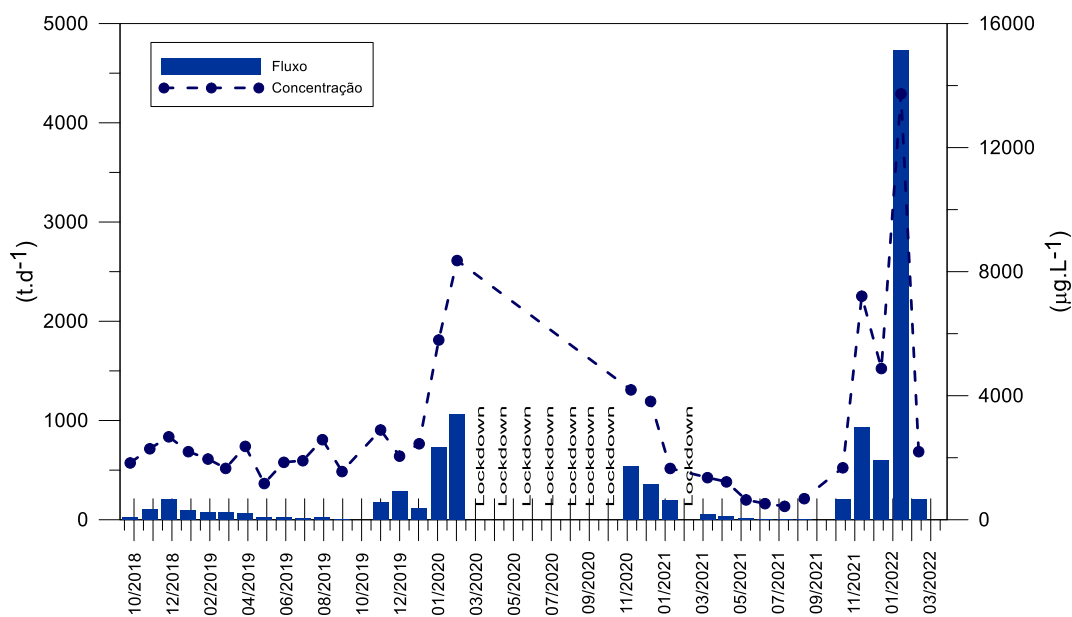


Figura 33: Estimativas de fluxos de Manganês Total na estação E21.

